

## 第2章 調査結果の総合検討

無極寺地区では、第2年次にIP法による物理探査が測線延長26.5km(17測線)で実施され、有限要素法と非線形最小二乗法を用いた2次元逆解析による地下構造の推定が試みられた。その結果、董保山断層両側で高充電率異常が捕捉された(図16)。断層東側の異常は延長900m、幅350m、断層西側の異常は延長2,000m、幅750mで、それぞれ低比抵抗異常部を含む。

一方、今年度のボーリング調査で、空樹河層の存在及び董保山断層が落差100m以上で、断層西側が沈降していることが明らかとなった。これらの新しい事実に基づき、物理探査結果の再解析を行った。

### (1) 孔井データとの比較

物理探査が実施された地区の層序は、下位から石炭紀の空樹河層、二畳紀の大碓厂層及び燕山期の貫入岩類からなり、地層によって特徴的な岩相を示す(図2)。

本地区で実施されたボーリングで、空樹河層はMJTL-7号孔とMJTL-9号孔で、大碓厂層は全孔井で、貫入岩類はMJTL-1号孔でそれぞれ確認された。

本地区で掘削された7孔井の簡略化した柱状図を東西測線上に投影して並べたものを図15に示す。各孔井から各地層を代表する試料を採取し、充電率及び比抵抗を室内で測定した(表8)。簡略化柱状図には、室内試験で得られた充電率値について、各岩相区分を代表する値を添えた。

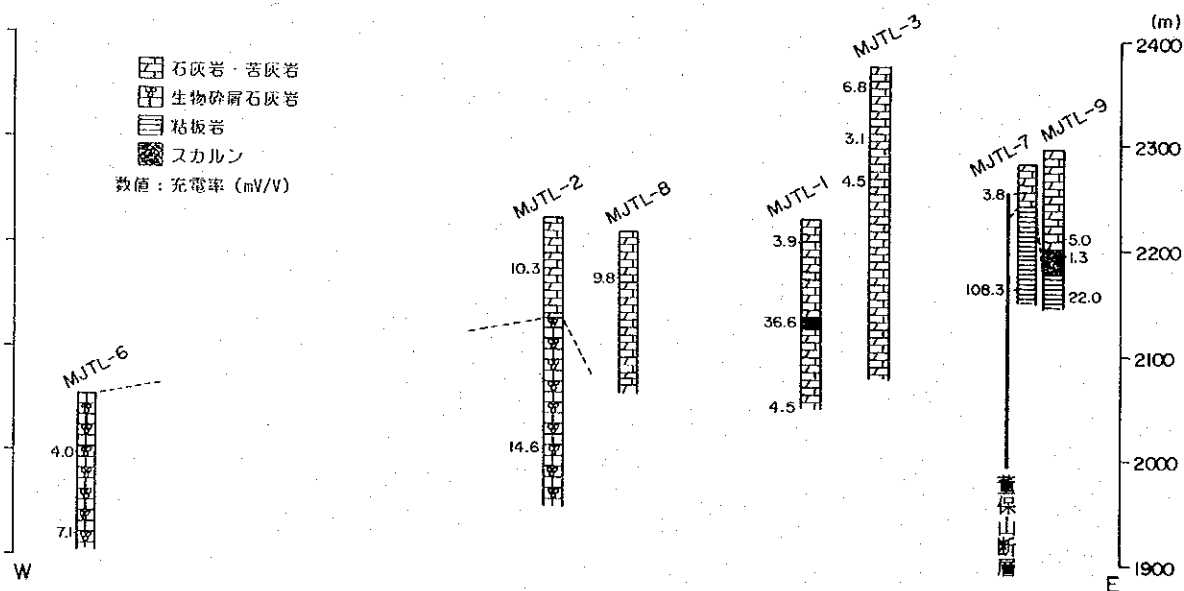
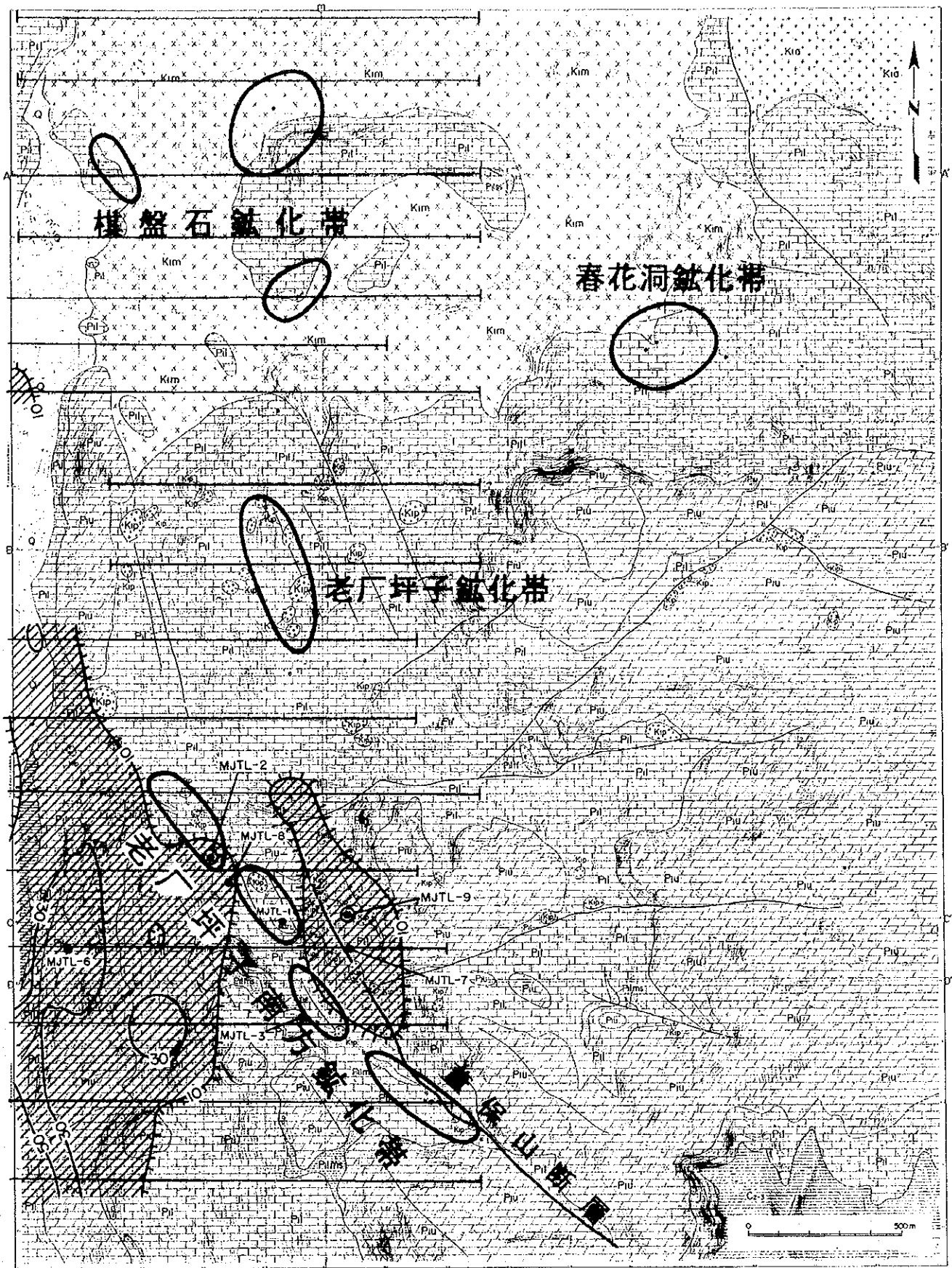


図15 無極寺地区簡略柱状図



- 第四系
- 崩壊堆積物
  - ジュラ紀後期-白堊紀前期 頁岩層  
東河花崗岩類
  - ××× Kim 銅山花崗岩類  
石英閃岩、花崗閃岩
  - + + + Kio 須彌花崗岩類  
中粒麻痺岩アダムロ岩
  - ××× Kim 模盤石花崗岩類  
角閃石英モンソノ閃岩

- 二迭系
- 下第二段系  
大銅厂層上砂岩
  - 雲灰岩、特殊頁岩泥岩
  - 礫性凝灰岩、砂岩、泥岩  
石灰岩、純頁岩石灰岩
  - 石炭系  
上、中銅石炭系
  - 空層別層  
炭質凝灰岩、石英砂岩、粘板岩  
砂頁岩等粘板岩

- 地質境界
- 断層
- 断層
- 背斜軸
- フランジ
- 角斜軸

- ⊗ 高充電率異常 (10mV/V以上)
- 鉍化帯
- ドーム構造
- 坑口
- ● ボーリング位置
- 試掘地
- 物理探査測線

図16 鉍化帯とIP異常の関係

表8 充電率及び比抵抗測定結果(地層別)

孔名	採取深度	充電率	比抵抗	岩石名	地層名
MJTL-1	20.46	3.9	31382.9	苦灰岩	大碓厂層上部層
	103.00	36.6	8400.4	スカルン(石英斑岩)	貫入岩類
	124.73	17.3	12182.0	泥質石灰岩	大碓厂層上部層
	181.00	4.5	5540.5	苦灰岩	大碓厂層上部層
MJTL-2	47.46	10.3	278.8	苦灰岩	大碓厂層上部層
	83.50	18.5	232.5	生物碎屑石灰岩	大碓厂層下部層
	211.73	14.6	1362.4	生物碎屑石灰岩	大碓厂層下部層
MJTL-3	22.67	6.8	9590.9	苦灰質石灰岩	大碓厂層上部層
	65.04	3.1	9497.5	苦灰質石灰岩	大碓厂層上部層
	106.70	4.5	2229.1	苦灰岩	大碓厂層上部層
MJTL-6	57.00	4.0	10878.0	生物碎屑石灰岩	大碓厂層下部層
	135.70	7.1	135.0	生物碎屑石灰岩	大碓厂層下部層
MJTL-7	38.84	3.8	652.0	石灰岩	大碓厂層上部層
	118.51	108.3	323.0	粘板岩	空樹河層
MJTL-8	44.00	9.8	1462.0	石灰岩	大碓厂層上部層
MJTL-9	61.50	54.5	4625.0	石灰岩	大碓厂層上部層
	90.00	5.0	498.0	石灰岩	大碓厂層上部層
	98.10	1.3	2263.0	スカルン(石灰岩)	大碓厂層上部層
	140.00	22.0	1311.0	粘板岩	空樹河層

注 MJTL-6・7・8・9号孔の試料は簡易測定

表8に示すように、空樹河層は粘板岩からなり、22~108mV/V程度の高充電率を示す。大碓厂層は石灰岩及び苦灰岩からなる上部層と主として生物碎屑石灰岩からなる下部層に分けられるが、充電率は上部層で3.1~10.3mV/V程度、下部層で7.1~18.53mV/V程度になり、下部層が高充電率を示す。大碓厂層上部層の石灰岩で17.3mV/V及び54.5mV/Vと高充電率を示すものがあるが、前者は泥質物を含むため、後者は黄鉄鉱-磁硫鉄鉱染を伴うためと思われる。

以上のことから、これらの充電率は地層又は岩相によって変化するものと思われ、空樹河層(粘板岩)及び大碓厂層下部層(生物碎屑石灰岩)が7mV/V以上の高充電率異常を示す。

比抵抗は空樹河層で323~1311Ω・m程度、大碓厂層下部層で232.5~1362.4Ω・m程度、大碓厂層上部層で278.8~31,382.9Ω・m程度になる。空樹河層が低比抵抗を示し、また、下位層ほど低比抵抗になる傾向がみられる。しかし、空樹河層以外の地層では、比抵抗値が変化を示すことから、これらの比抵抗は地層又は岩相による変化だけではなく、ほかの要因もあるように思える。

## (2) 鉱化と充電率

表9は鉱石の充電率測定結果である。鉱石の充電率は60.1~191.8mV/V程度、比抵抗は10.5~33.2Ω・m程度である。鉱石が高充電率-低比抵抗を示すことから、低比抵抗部を含む高充電率異常帯が鉱化帯を示唆する可能性が考えられる。

図16に捕捉された高充電率異常帯と地質調査によって確認された鉱化帯を示す。これらの高充電率異常帯は低比抵抗部を含んでおり、鉱化帯を示唆する可能性が考えられるが、高充電率異常

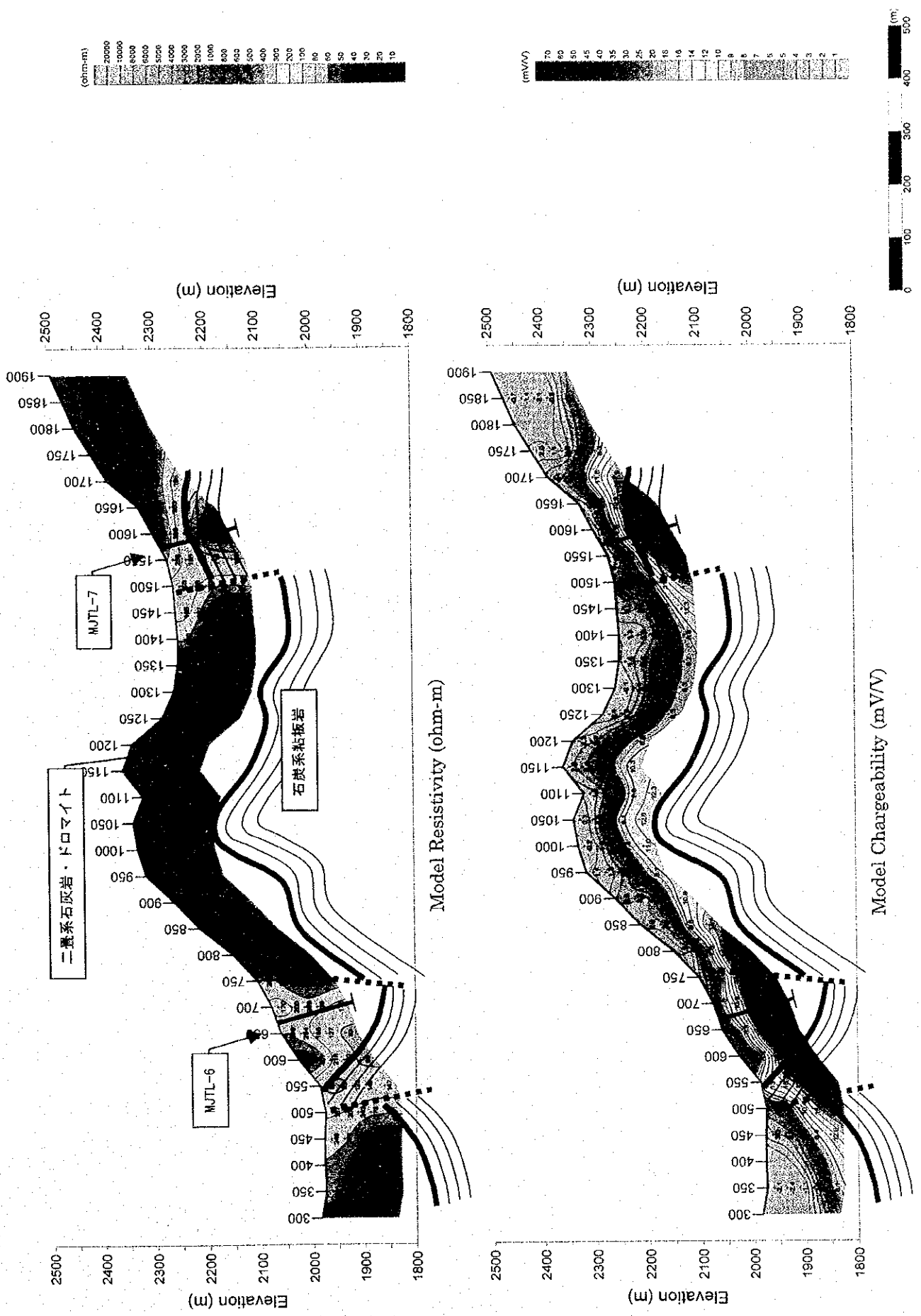
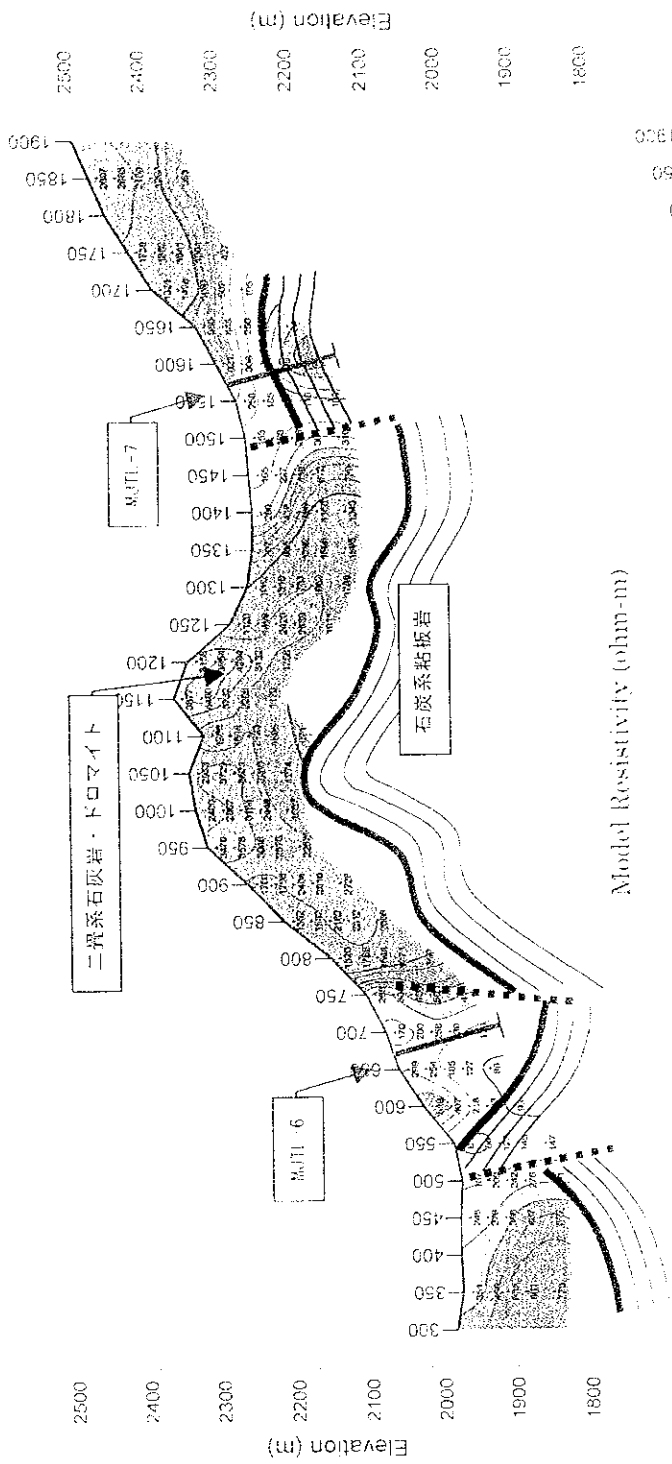
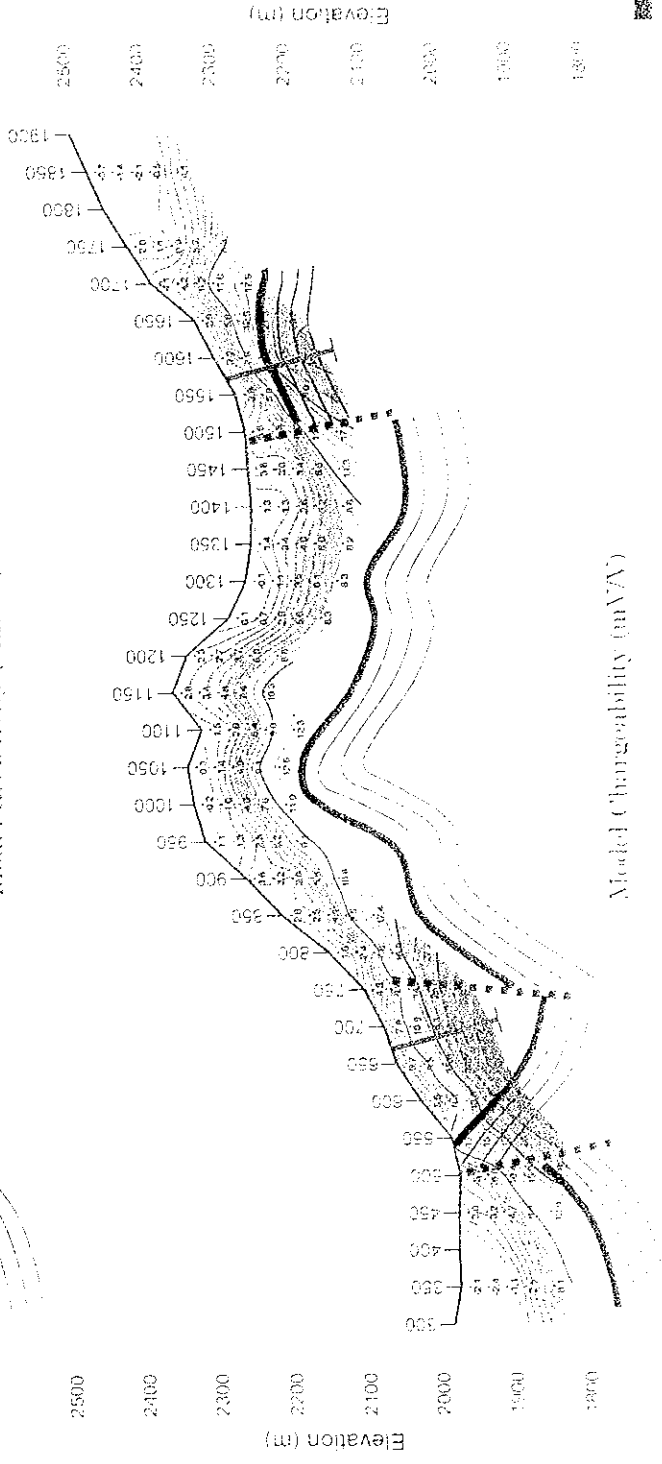


図17 I P 異常解析図

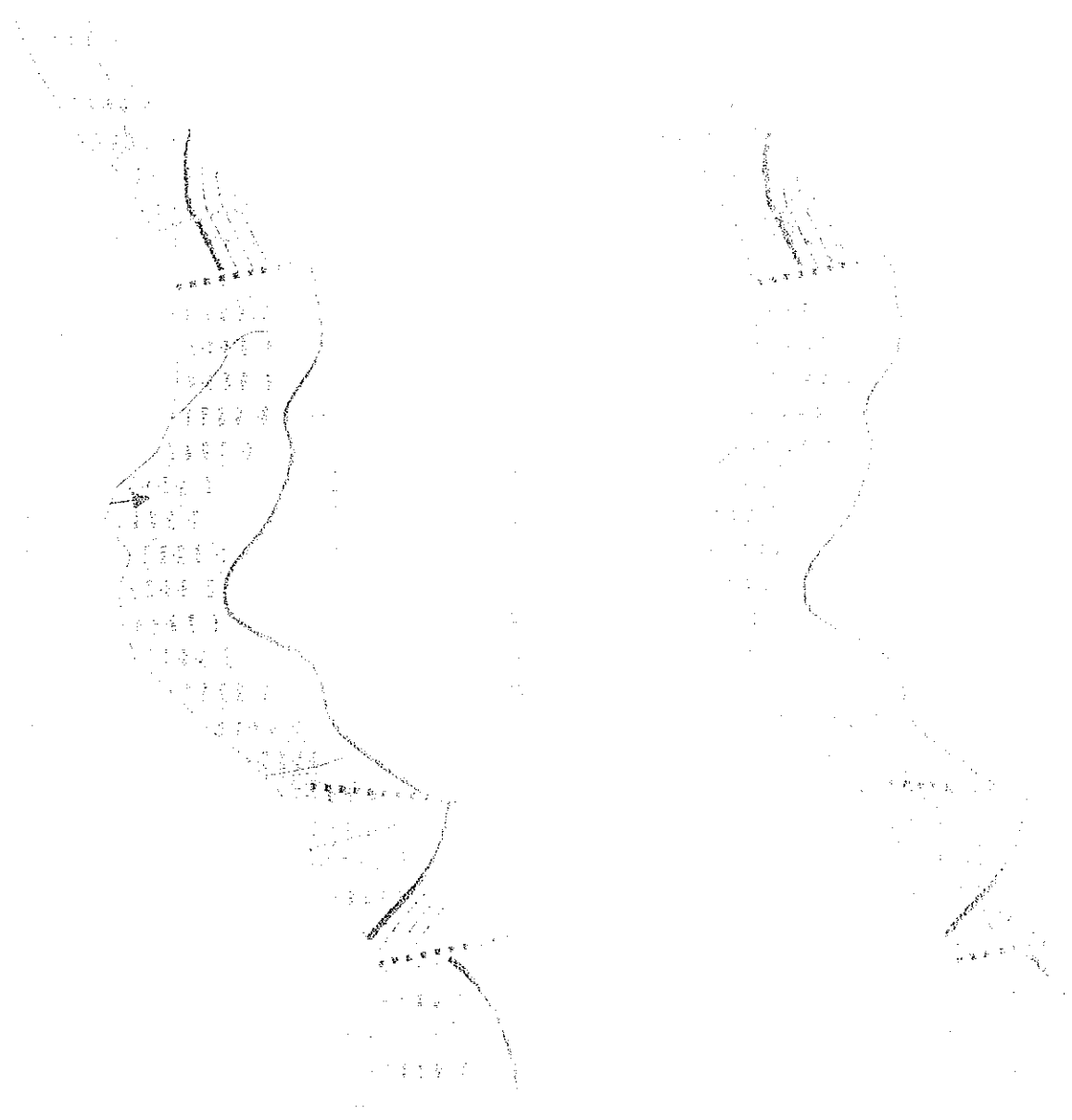


Model Resistivity (ohm-m)



Model Chargeability (mVA)

図17 I P 異常解析図



帯と鉍化帯の分布をみると、高充電率異常帯と鉍化帯は一致しない。特に、現在探鉍中である老  
 厂坪子南方鉍化帯は高充電率異常帯の谷部沿いに分布している。また、今年度実施された高充電  
 率異常部に対するボーリングで、鉍化作用が認められなかったことも加味すると、高充電率異常  
 が鉍化をあらわしているとは思えない。

表 9 充電率及び比抵抗測定結果(鉍石)

試料番号	岩石名	充電率	比抵抗
971031-5	鉛亜鉛鉍石	191.8	27.9
K-800	鉛亜鉛鉍石	109.1	33.2
K-800-1	鉛亜鉛鉍石	60.1	10.5

### (3) 考 察

孔井データとの比較及び鉍化と充電率から、高充電率異常帯が示唆するものは、高充電率の地  
 層で、本地区では空樹河層の粘板岩と判断される。しかし、董保山断層西側で実施したボーリン  
 グ孔では空樹河層が確認されなかったこと、董保山断層の両側で落差が100m以上あること、物  
 理探査の解析深度が125mであることを考慮すると、董保山断層東側の高充電率異常帯は空樹河  
 層の分布を示し、断層西側の高充電率異常帯は大硐厂層下部層の分布を示しているものと推定さ  
 れる。

## 第III部 結 論

### 第1章 結 論

第3年次の調査は無極寺地区でボーリング調査を行い、以下の事が明らかとなった。

- (a) 既知鉱体内の探鉱余地が減少してきていることから、大幅な鉱量獲得に結び付くような、新しい鉱化帯を求めて、ボーリング調査を行った。作業仮説として、第2年次の調査結果から、断層破碎帯近傍、花崗岩類と炭酸塩岩類との接触部及び石炭紀の粘板岩と二畳紀の炭酸塩岩類との境界部にスカルン鉱床胚胎の可能性が高いと考え、これらのゾーンとIP異常が重複するゾーンを探査ターゲットとした。その結果、石炭紀の粘板岩と二畳紀の炭酸塩岩類との境界部に微弱な鉛・亜鉛鉱化作用を伴う幅20mのスカルン帯が、MJTL-9号孔で確認された。
- (b) 第2年次にIP法による物理探査が測線延長26.5km(17測線)で実施され、その結果、本調査地区の南西方で2つのIP異常が捕捉された(図16)。本年度のボーリング調査は捕捉されたIP異常と地質調査結果とを照合し、鉱化を示唆すると推定されるIP異常に対して行われた。調査結果から、探査対象の絞り込みに用いたIP異常には、直接的に鉱床又は鉱化帯を示唆するものではなく、IP異常は泥灰岩、粘板岩などに起因ものと判断される。
- (c) ボーリング調査の結果、董保山断層は落差100m以上の断層で、断層西側が沈降していることが明らかとなった。

以上のことから、本年度調査を行った本地区の南西方では、小規模鉱床発見の可能性は残るものの、探鉱余地はないものと思われる。しかし、石炭紀の粘板岩と二畳紀の炭酸塩岩類との境界部を対象に、董保山断層の両側でスカルン帯の追跡を行い、鉱化の具体的な形状を把握して、新鉱化帯の存在を明らかにすることも必要である。調査に当たっては、董保山断層西側では、地下深部に鉱床賦存の可能性が高く、採算性などを十分に検討しなければならない。



## 第2章 将来への提言

本年度は昨年度の調査で要探鉱地区として抽出された4箇所(中央岩体東部・中央岩体中央部・南部岩体西部・南部岩体中央部(図19))のうち、南部岩体西部及び南部岩体中央部で新鉱化帯を求めて、ボーリング調査を行ったが、有望な鉱化帯を捕捉することはできなかった。

本年度調査の結果から、南部岩体については、小規模鉱床発見の可能性は残るものの、探鉱余地はないものと思われる。しかし、石炭紀の粘板岩と二疊紀の炭酸塩岩類との境界部に、微弱な鉛・亜鉛鉱化作用を伴うスカルン帯を初めて確認したことは、本地区で今後の潜頭鉱床探査を展開するにあたり、大きな意味をもつことになる。この確認されたスカルン帯の追跡を行い、鉱化の具体的な形状を把握して、新鉱化帯の存在を明らかにすることも、今後の探査のひとつの方向である。探査に当たっては、董保山断層西側では、地下深部に鉱床賦存の可能性が高く、採算性などを十分に検討しなければならない。

一方、無極寺地区の将来にとって、最も大きな課題となっている新鉱化帯の探査は、始まったばかりである。本年度調査の対象として取り上げなかった中央岩体には、東部、中央部などの要探鉱地区が未だ残されており、本地区の鉱化ポテンシャルは決して小さくないと思われる。したがって、本資源開発調査によって、構築された地質データと中国側が所有する既存データを基に、広域的な視野で地質・鉱床を見直し、様々な視点から新鉱床の探査を行うことも必要である。探査に当たっては、本地区は断層・褶曲構造が複雑なため、実体を把握することは困難であるが、鉱化モデル(図18)などから、具体的なターゲットを絞り込み、どのようなところを対象として調査を行うべきかについての作業仮説を設定し、探査計画の立案を行わなければならない。このような計画的な調査の段階を踏むことによって、新鉱床の発見へとみちびかれるであろう。

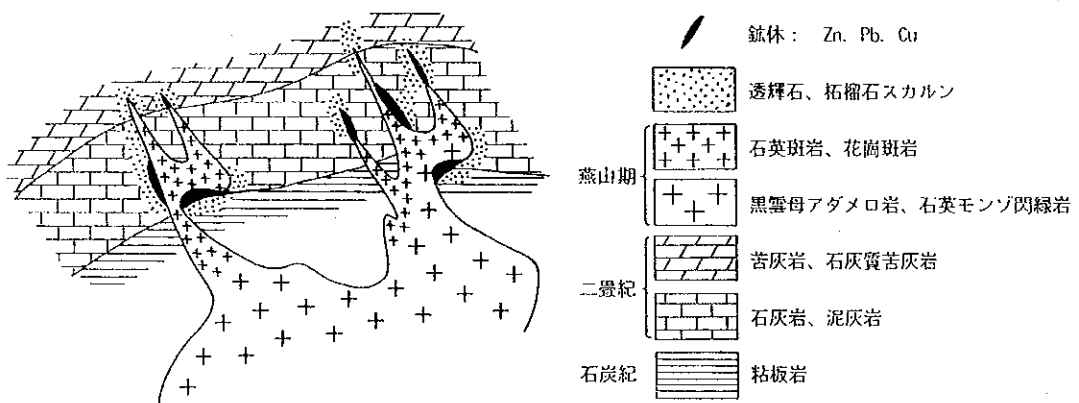
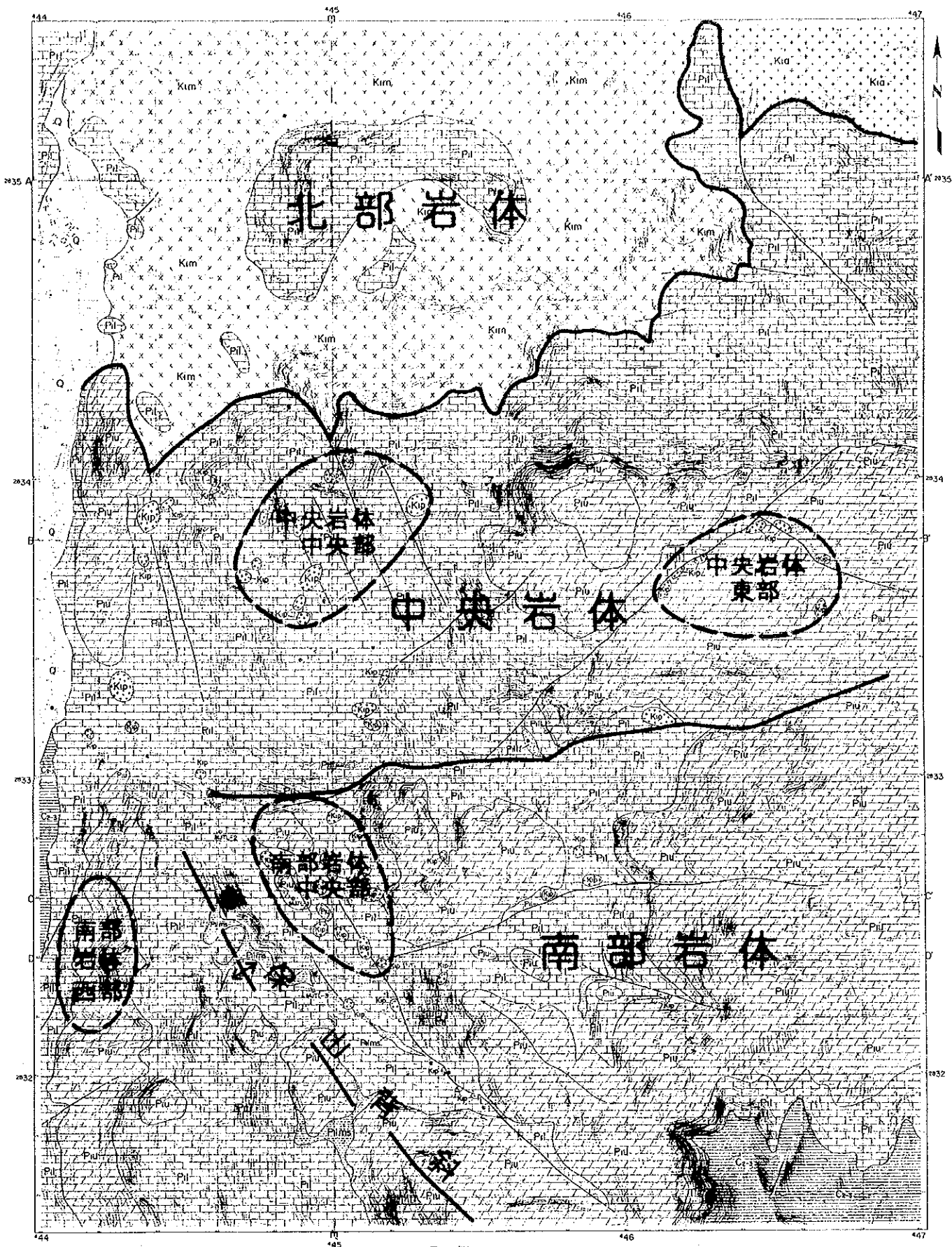


図18 無極寺地区鉱化モデル



凡例

0 500m

- |   |  |   |   |
|---|--|---|---|
| <p><b>第四系</b></p> <ul style="list-style-type: none"> <li> 埋没堆積物</li> <li>ジュラ紀植附-白亜紀粉砂 貫入岩類</li> <li>東河花崗岩類</li> <li> 關山花崗岩類</li> <li>石英斑岩、花崗斑岩</li> <li> 第三紀花崗岩類</li> <li>中粒黒雲母アズノ石</li> <li> 横濱石花崗岩類</li> <li>角閃石英英モソノ閃緑岩</li> </ul> | <p><b>二葉系</b></p> <ul style="list-style-type: none"> <li>大崎層上層部</li> <li> 帯灰岩、輝綠質安山岩</li> <li> 凝灰岩、砂岩、泥岩</li> <li>石灰岩、綠泥質石灰岩</li> </ul> <p><b>石炭系</b></p> <ul style="list-style-type: none"> <li>上-中層石炭系</li> <li> 空層河泥</li> <li>高質粘板岩、石灰砂岩、粘板岩</li> <li>砂質頁岩等粘板岩</li> </ul> | <ul style="list-style-type: none"> <li> 地質境界</li> <li> 断層</li> <li> 背斜軸</li> <li> プランジ</li> <li> 向斜軸</li> </ul> | <p><b>要探鉱地区</b></p> <ul style="list-style-type: none"> <li> ドーム構造</li> <li> 坑口</li> <li> ボーリング位置</li> <li> 試掘地</li> </ul> |
|---|--|---|---|

図19 無極寺地区要探鉱地区

## 文 献

雲南省地質鈹産局（1990）：雲南省区域地質誌

雲南省地質鈹産局第四地質大隊（1996）：雲南省騰冲県端滇郷老厂坪子銅鉛亜鉛鈹新發見鈹産地  
勘査地質報告

国際協力事業団・金属鈹業事業団（1997）：中華人民共和国騰冲梁河地域資源開発協力基礎調査  
報告書（第1年次）

国際協力事業団・金属鈹業事業団（1998）：中華人民共和国騰冲梁河地域資源開発協力基礎調査  
報告書（第2年次）

付図1 ボーリング柱状図 (MJTL-6 縮尺1:200)

付図2 ボーリング柱状図 (MJTL-7 縮尺1:200)

付図3 ボーリング柱状図 (MJTL-8 縮尺1:200)

付図4 ボーリング柱状図 (MJTL-9 縮尺1:200)



# ボ ー リ ン グ 柱 状 図

孔 名 : MJTL-6  
 使用機種 : XY-2  
 孔口標高 : 2054m  
 掘進延長 : 150.06m

調査地区 : 無極寺地区  
 調査期間 : 1998年11月4日~11月23日  
 傾 斜 : 75°  
 方 向 : 90°

標尺	柱状図	深度	記 載	品 位				採取 深度	コア 採取率 (%)		
				Cu(ppm)	Pb(ppm)	Zn(ppm)	Au(g/t)			Ag(g/t)	
60	○		Limestone black, massive, organic, fossiliferous, finely crystalline, with calcite veinlets(width 1-2mm), partially pyrite disseminated. limonite is found in the fissures, wholly crack dominant. 61.37-62.03m crack dominant, 64.63-64.93m crack dominant, 65.53-66.03m crack dominant, 66.18-67.34m crack dominant, 69.54-70.10m crack dominant. 70.74-72.14m crack dominant.						77.8 100.0 100.0 100.0 100.0 100.0 100.0 100.0 100.0 100.0		
65	○									70.0 70.0 83.3	
70	○									100.0 100.0 100.0	
75	○			Limestone black, massive, organic, fossiliferous, finely crystalline, with calcite veinlets(width 1-3mm), limonite is found in the fissures, a trace amount of pyrite is locally found. 76.00-76.49m crack dominant, 83.95-84.43m crack dominant, 92.36-92.66m crack dominant.						71.4	
80	○										100.0 100.0 100.0 100.0 100.0 100.0 100.0 100.0 100.0 100.0
85	○										88.7 100.0 79.2 70.0 100.0
90	○										100.0 100.0 100.0 100.0 100.0 100.0 100.0 100.0 100.0 100.0
95	○										88.34 90.34 92.34 94.26 95.79
100	○				Limestone black, massive, organic, fossiliferous, finely crystalline, with calcite veinlets(width 1-3mm), limonite is found in the fissures.	10	44	45	0.01	0.04	
105	○						7	34	28	Tr	0.05
110	○					13	41	31	0.01	0.07	
115	○					9	40	50	0.01	0.03	
120	○		117.76-118.16m crack dominant.								98.0 100.0 80.0 91.7 100.0 85.7 95.0 100.0 100.0 78.1 95.7 100.0 100.0 100.0 87.5 100.0 100.0 100.0 80.0 80.0 83.3 86.7 90.0 81.8 100.0 78.4 100.0







# ボ リ ン グ 柱 状 図

孔名 : MJTL-7  
 使用機種 : XY-2  
 孔口標高 : 2282m  
 掘進延長 : 150.06m

調査地区 : 無極寺地区  
 調査期間 : 1998年10月26日~11月9日  
 傾斜 : 75°  
 方向 : 90°

標尺	柱状図	深度	記 載	品 位				採取深度	コア採取率 (%)
				Cu(ppm)	Pb(ppm)	Zn(ppm)	Au(g/t)		
60			Claystone black, massive, pelitic, compact, with calcite-pyrite veinlets, with minor amounts of magnetite, wholly sheared and crushed.					91.7	100.0
65			60.22-61.32m strongly sheared, 61.32-62.30m with calcite-pyrite-pyrrhotite veinlets, 62.32-72.77m strongly sheared and crushed.					85.0	82.4
70		72.77	Claystone black, massive, pelitic, compact, with calcite-pyrite-pyrrhotite veinlets( width 1-3mm), partially magnetite disseminated, a trace amount of limonite is locally found.					69.4	100.0
75			75.27-76.47m sheared, 79.19-84.81m cruck dominant.					70.0	81.3
80		84.81	Claystone black, massive, pelitic, compact, with calcite veinlets(width 1mm±), 88.00-89.87m strongly sheared and brecciated.					75.0	62.5
85			92.67-94.00m sheared, Claystone black, massive, pelitic, partially pyrite and magnetite disse- minated.					71.4	85.4
90		89.87	95.67					91.7	90.0
95			Slime					92.4	100.0
100		105.44	Claystone black, massive, pelitic, compact, with calcite-pyrite veinlets(width 3mm±) cruck dominant, pyrite disseminated.					69.2	80.0
105		108.73	110.68-111.28m strongly sheared zone, 113.43-113.82m strongly sheared zone, 114.00-115.00m sheared zone, 118.87-119.84m slime.					80.0	100.0
110								75.0	75.0
115		118.87						71.4	71.4
120		119.84						72.9	72.9







# ボ リ ン グ 柱 状 図

孔名 : MJTL-8  
 使用機種 : XY-2  
 孔口標高 : 2228m  
 掘進延長 : 150.34m

調査地区 : 無極寺地区  
 調査期間 : 1997年11月28日~12月1日  
 傾斜 : 75°  
 方向 : 90°

標尺	柱状図	深度	記 載	品 位				採取深度	コア採取率 (%)	
				Cu(ppm)	Pb(ppm)	Zn(ppm)	Au(g/t)			Ag(g/t)
120			Limestone grayish yellowish, massive, finely crystalline, contains some intercalated brown mud,  125.33-125.43m interbedded with brown mud, 137.22-137.32m interbedded with reddish brown mud,  ----- Limestone reddish brown, brecciated, structural feature is brecciation, 146.20-147.69m sheared zone,  ----- Limestone brown, massive, finely crystalline,						100.0	
125									100.0	
130										100.0
135										100.0
140		139.92								100.0
145				29	882	328	Tr	1.48	143.77	100.0
147.69									145.77	100.0
150		150.34		25	694	564	Tr	0.88	148.34	100.0
									150.34	100.0



# ボ リ ン グ 柱 状 図

孔 名 : MJTL-9

使用機種 : XY-2

孔口標高 : 2296m

掘進延長 : 150.15m

調査地区 : 無極寺地区

調査期間 : 1998年11月17日~11月23日

傾 斜 : 75°

方 向 : 90°

標尺	柱状図	深度	記 載	品 位				採取 深度	コア 採取率 (%)	
				Cu(ppm)	Pb(ppm)	Zn(ppm)	Au(g/t)			Ag(g/t)
60			Limestone black, massive, finely crystalline, with calcite-pyrite veinlets, partially pyrrhotite disseminated.	13	56	114	0.01	0.31	100.0	
65									100.0	
70									100.0	
75									100.0	
80									100.0	
85									100.0	
87.00		87.00		87.00m...pyrite disseminated.						100.0
90				Limestone grayish white, medium to coarsely crystalline, skarnized, a minor amount of diopside is locally found.	11	34	39	Tr	0.05	100.0
95		95.06			1	4	2	0.01	0.04	100.0
100				Skarn white, mainly composed of wollasto- nite, with trace amounts of diopside and garnet, weekly galena disseminated.	23	97	79	Tr	0.06	100.0
105				15	49	25	0.01	0.08	100.0	
110				9	43	11	0.01	0.12	100.0	
115		114.80		32	88	28	0.01	0.23	100.0	
120		119.14		10	400	82	0.01	3.05	100.0	
				16	237	175	Tr	0.84	100.0	
				9	2924	91	Tr	10.30	100.0	
				21	213	86	0.01	2.55	100.0	
				17	556	45	Tr	6.70	100.0	
				11	749	47	Tr	6.30	100.0	
				9	833	51	Tr	2.85	100.0	
				14	125	74	Tr	0.64	100.0	
				19	118	28	0.01	0.36	100.0	
				11	57	15	0.01	0.13	100.0	
				16	58	24	0.01	0.10	100.0	
				12	62	50	0.01	0.31	100.0	
		108.06	Limestone whitish gray, finely to medium crystalline, massive, with trace amounts of pyrite.	12	42	25	0.01	0.11	100.0	
				9	42	28	Tr	0.06	100.0	
				11	82	67	Tr	0.18	100.0	
				11	43	27	0.01	0.08	100.0	
			Skarn white, medium to coarsely crystalline, composed mainly of garnet and diopside.	9	199	173	Tr	2.20	100.0	
				7	97	63	0.01	1.40	100.0	
				12	117	88	0.01	0.56	100.0	
				36	33	17	0.01	0.32	100.0	
			Claystone	170	32	248	0.01	0.23	100.0	





付表 1 檢鏡結果一覽表

付表 2 研磨片鑑定結果一覽表

付表 3 化学分析結果一覽表

資料1 検鏡結果一覧表

番号	岩石名	孔名	深度(m)	方解石(%)	角閃石(%)	石英(%)	泥質物(%)	炭質物(%)	透輝石(%)	珪灰石(%)	柘榴石(%)	緑泥石(%)	緑簾石(%)	カリ長石	不透明鉱物
16M1	泥質石灰岩	MJTL-6	15.00	75-80	1	15-20									
36M4	石灰岩	MJTL-6	57.00	98	微量	2									微量
36M9	石灰岩	MJTL-6	97.30	95	微量	5									
46M13	シルト質泥岩	MJTL-6	135.70	25-30	5	10-15	30-35	10-15							
57M2	角礫化石灰岩	MJTL-7	7.60	97		1									
67M3	角礫化石灰岩	MJTL-7	18.40	100											
77M7	シルト質泥岩	MJTL-7	38.84	微量		20-25	20-80								微量
87M12	シルト質泥岩	MJTL-7	95.50		5	35-40	45-50	5-10							
97M16	石英砂岩	MJTL-7	142.84	1-2		65-70	25-30								微量
108M1	石灰質角礫岩	MJTL-8	36.00	98		2									微量
118M3	石灰岩	MJTL-8	44.00	99		1									
128M4	石灰岩	MJTL-8	112.00	95		5									
139M5	角礫化石灰岩	MJTL-9	55.10	98		2									2
149M7	泥灰岩	MJTL-9	61.50	70-75		25									
159M10	スカン化石灰岩	MJTL-9	90.00	40-45	5	1-2			5-10	90-95					微量
169M11	珪灰石スカン	MJTL-9	98.10						5-10						
179M12	珪灰石スカン	MJTL-9	98.90	90-95					5	1-2					
189M17	スカン	MJTL-9	116.00	40-45		10-15			30-35	5					微量
199M18	スカン	MJTL-9	117.04	65-70					10-15	15-20					微量
209M20	スカン	MJTL-9	117.80	20	5				35		40				微量
219M21	スカン	MJTL-9	117.94	30-35					65-70						微量
229M22	スカン	MJTL-9	118.36	5		35-40			10-15	5					微量
239M24	シルト質泥岩	MJTL-9	127.61		5	10-15	70-75	5-10						微量	20-25
249M27	ホルンフェルス	MJTL-9	143.00		65-75	5-10	10-15							5	5

資料2 研磨片鑑定結果一覧表

番号	孔名	深度(m)	方鉛鉱(%)	磁硫鉄鉱(%)	黄銅鉱(%)	黄鉄鉱(%)	白鉄鉱(%)	針鉄鉱(%)
17M7	MJTL-7	38.84		少量				
27M8	MJTL-7	48.14		2-3		1-2		
37M9	MJTL-7	62.30		<1		微量		
47M10	MJTL-7	78.10		3-4		微量	微量	
57M11	MJTL-7	84.31		微量		1-2		
68M2	MJTL-8	43.60						微量
79M7	MJTL-9	61.50		1		1		
89M11	MJTL-9	98.10	<1					
99M14	MJTL-9	102.90	<1					
109M18	MJTL-9	117.04	微量	少量	少量	少量		
119M23	MJTL-9	119.00		1	微量	微量		
129M27	MJTL-9	143.00		微量	5			

資料3 化学分析結果一覽表

	孔名	採取深度	品 位				
			Cu(ppm)	Pb(ppm)	Zn(ppm)	Au(g/t)	Ag(g/t)
1	MJTL-6	31.00 - 33.00	21	54	185	Tr	0.11
2	MJTL-6	33.00 - 35.00	13	40	217	0.01	0.17
3	MJTL-6	35.00 - 37.00	14	33	48	0.01	0.09
4	MJTL-6	37.00 - 39.00	15	35	71	Tr	0.33
5	MJTL-6	39.00 - 41.00	8	34	38	Tr	0.09
6	MJTL-6	41.00 - 43.00	9	37	35	0.01	0.08
7	MJTL-6	43.00 - 45.00	8	31	34	0.01	0.10
8	MJTL-6	45.00 - 47.06	57	31	64	0.01	0.14
9	MJTL-6	88.34 - 90.34	10	44	45	0.01	0.04
10	MJTL-6	90.34 - 92.34	7	34	28	Tr	0.05
11	MJTL-6	92.34 - 94.26	13	41	31	0.01	0.07
12	MJTL-6	94.26 - 95.79	9	40	50	0.01	0.03
13	MJTL-6	126.35 - 128.35	10	38	31	0.01	0.08
14	MJTL-6	128.35 - 130.35	12	99	102	Tr	0.08
15	MJTL-6	136.05 - 138.05	12	38	44	0.01	0.10
16	MJTL-6	138.05 - 140.05	9	32	40	Tr	0.16
17	MJTL-6	140.05 - 142.05	10	35	33	Tr	0.62
18	MJTL-6	142.05 - 144.05	10	34	47	Tr	0.07
19	MJTL-6	144.05 - 146.05	8	38	42	Tr	0.04
20	MJTL-6	146.05 - 148.05	14	34	46	0.01	0.05
21	MJTL-6	148.05 - 150.06	7	33	59	Tr	0.07
22	MJTL-7	29.43 - 30.43	8	67	25	0.01	0.08
23	MJTL-7	30.43 - 31.43	9	59	89	0.01	0.07
24	MJTL-7	31.43 - 32.43	9	68	55	Tr	0.11
25	MJTL-7	32.43 - 33.43	8	61	101	0.01	0.06
26	MJTL-7	33.43 - 34.43	11	53	48	0.02	0.05
27	MJTL-7	34.43 - 35.43	9	47	66	0.01	0.06
28	MJTL-7	35.43 - 36.43	11	43	53	0.01	0.42
29	MJTL-7	36.43 - 37.43	89	39	157	Tr	0.23
30	MJTL-7	37.43 - 38.43	33	16	60	0.01	0.16
31	MJTL-7	38.43 - 39.43	28	15	25	Tr	0.12
32	MJTL-7	39.43 - 40.34	35	18	64	Tr	0.17
33	MJTL-7	40.34 - 41.00	72	44	138	0.01	0.29
34	MJTL-7	41.00 - 41.64	75	27	141	0.01	0.20
35	MJTL-7	41.64 - 42.64	57	35	131	Tr	0.17
36	MJTL-7	42.64 - 43.64	65	35	144	0.01	0.24
37	MJTL-7	43.64 - 44.64	46	32	161	0.01	0.23
38	MJTL-7	44.64 - 45.64	37	23	134	0.01	0.22
39	MJTL-7	45.64 - 46.64	23	48	149	0.01	0.20
40	MJTL-7	46.64 - 47.74	38	30	147	Tr	0.29

資料3(つづき) 化学分析結果一覧表

	孔名	採取深度	品位				
			Cu(ppm)	Pb(ppm)	Zn(ppm)	Au(g/t)	Ag(g/t)
41	MJTL-7	47.74 - 48.74	25	26	115	0.01	0.16
42	MJTL-7	48.74 - 49.74	84	41	135	0.01	0.25
43	MJTL-7	146.06 - 148.06	36	21	102	Tr	0.09
44	MJTL-7	148.06 - 150.06	29	37	185	0.01	0.14
45	MJTL-8	37.00 - 39.00	23	72	86	Tr	0.94
46	MJTL-8	39.00 - 41.00	24	83	152	Tr	4.50
47	MJTL-8	71.00 - 73.00	18	404	434	Tr	0.17
48	MJTL-8	103.27 - 105.27	9	158	214	Tr	0.50
49	MJTL-8	143.77 - 145.77	29	882	328	Tr	1.48
50	MJTL-8	148.34 - 150.34	25	694	564	Tr	0.88
51	MJTL-9	33.00 - 35.00	5	47	16	Tr	0.36
52	MJTL-9	59.04 - 61.04	13	56	114	0.01	0.31
53	MJTL-9	87.06 - 89.06	11	34	39	Tr	0.05
54	MJTL-9	89.06 - 91.06	1	4	2	0.01	0.04
55	MJTL-9	91.06 - 93.06	23	97	79	Tr	0.06
56	MJTL-9	93.06 - 94.06	15	49	25	0.01	0.08
57	MJTL-9	94.06 - 95.06	9	43	11	0.01	0.12
58	MJTL-9	95.06 - 96.06	32	88	28	0.01	0.23
59	MJTL-9	96.06 - 97.06	10	400	82	0.01	3.05
60	MJTL-9	97.06 - 98.06	16	237	175	Tr	0.84
61	MJTL-9	98.06 - 99.06	9	2924	91	Tr	10.30
62	MJTL-9	99.06 - 100.06	21	213	86	0.01	2.55
63	MJTL-9	100.06 - 101.06	17	556	45	Tr	6.70
64	MJTL-9	101.06 - 102.06	11	749	47	Tr	6.30
65	MJTL-9	102.06 - 103.06	9	833	51	Tr	2.85
66	MJTL-9	103.06 - 104.06	14	125	74	Tr	0.64
67	MJTL-9	104.06 - 105.06	19	118	28	0.01	0.36
68	MJTL-9	105.06 - 106.06	11	57	15	0.01	0.13
69	MJTL-9	106.06 - 107.06	16	58	24	0.01	0.10
70	MJTL-9	107.06 - 108.06	12	62	50	0.01	0.31
71	MJTL-9	108.06 - 109.06	12	42	25	0.01	0.11
72	MJTL-9	109.06 - 111.06	9	42	28	Tr	0.06
73	MJTL-9	111.06 - 113.06	11	82	67	Tr	0.18
74	MJTL-9	113.94 - 114.94	11	43	27	0.01	0.08
75	MJTL-9	114.94 - 115.94	9	199	173	Tr	2.20
76	MJTL-9	115.94 - 116.94	7	97	63	0.01	1.40
77	MJTL-9	116.94 - 117.94	12	117	88	0.01	0.56
78	MJTL-9	117.94 - 118.94	36	33	17	0.01	0.32
79	MJTL-9	118.94 - 119.94	170	32	248	0.01	0.23
80	MJTL-9	148.15 - 150.15	58	24	107	0.02	0.14





JICA